

ки

матичному застосуванні стимулюючи, при зниженному тонусі кою сиднофену є 1—1,5 мг/кг, індо-

сяця застосування сиднофену та експериментальному неврозі з перевищеною стійким відновленню умовної загальної поведінки собак. У дозах (1—10 мг/кг), а індопан викликає реакцію активації в коро-фталічній ретикулярній форміції

ну впливають переважно на кору лікі дози діють на всі «поверхні»

іра

, Лейбельман Ф. Я., Машковську Укр. фізіол. т-ва. Тези доп., Львів, 1961. Укр. фізіол. т-ва. Тези доп., Львів, 1963. Укр. висш. нервн. деят., 1966, 16, 4, 648. отриманих засобів на нервную и гормо-  
н. — Журн. невропат. и психиатр., 1963,  
в. с шизофреними картинами и шизо-  
фр. 1967, 67, 1, 125.  
ер. IV научн. конфер. физиол. биохим.  
— Журн. невропат. и психиатр., 1963,  
иц. 1965, 28, 4, 394.  
1961, 1, 25.  
Nature, 1961, 191, 1068.

Надійшла до редакції  
11.XII 1972 р.

TS ON THE HIGHER NERVOUS  
WITH EXPERIMENTAL NEUROSES

skaya  
nervous Activity, Institute of Neurology  
try

span and sydnofen was studied as applied  
of conditioned reflexes and on the bio-  
functions of the cat brain. Regularities in  
re found, depending on the preparation,  
functional state and peculiarities of the

УДК 57:(62—50+51995)612.73:51.001.57

## МАТЕМАТИЧНА МОДЕЛЬ РЕЦЕПТИВНОЇ РЕЛАКСАЦІЇ

В. М. Ільїн, Л. В. Решодько, П. Г. Богач

Київський університет

Останнім часом для дослідження шлунково-кишкового тракту стали використовувати математичні і, зокрема, аналогові моделі [2, 3, 6].

Ми наводимо математичний опис відкритого Кенноном [4] явища рецептивної релаксації, а також аналогову модель цього явища, реалізовану на моделюючій установці МН-7.

Під час приймання їжі, розвитку харчової моторики шлунка передує специфічна зміна тиску в шлунку. Спочатку тонус знижується, тиск у шлунку зменшується, а через деякий час, ще в процесі приймання їжі, тиск у шлунку починає поступово підвищуватися. Згодом він досягає вихідного рівня і може навіть перевищувати його. Після закінчення приймання їжі відзначається різке підвищення тиску [1]. Описані зміни тиску визначаються подразним впливом їжі на інтерорецептивні поля, зокрема на пре- та інтрастравальне рецептивне поле [4].

Характер зміни тиску в порожнині шлунка під впливом акту їди, як показують експериментальні фізіологічні дослідження, є функцією часу і функцією просторової координати. При моделюванні необхідно кожну змінну системи вважати залежною від часу і від усіх просторових координат, тобто  $U=f(x, y, z, t)$ . Це приводить до рівнянь у часткових похідних, аналіз яких пов'язаний з певними труднощами. Тому з метою спрощення моделі, ми прийняли, що тиск в усіх точках порожнини шлунка в кожний даний момент часу змінюється однаково. Таке припущення дозволяє скористуватися звичайними диференційними рівняннями.

Основні аксіоматичні положення, прийняті при побудові моделі:

1. Процес прийому їжі розглядається не як перервний процес (ковтання), а як неперервний. Це припущення базується на співвідношенні часу одного ковтка і всього часу приймання їжі. В зв'язку з тим, що останній час значно більше тривалості одного ковтка, то інтенсивність нервового сигналу, який надходить з рецептивних полів за час між окремими ковтками, не зміниться, або зміниться зовсім мало.

2. Інтенсивність нервового входного сигналу  $U_{\text{вх}}$  з рецептивних полів лінійно залежить від часу заповнення їх адекватними подразниками — їжею,  $U_{\text{вх}} \sim kt$ . Після заповнення частини або всього рецептивного поля їжею встановлюється деяке постійне значення  $U_0$ . Величина  $U_0$  залежить від параметрів харчового подразника, наприклад, смакових якостей, фізичних властивостей їжі тощо.

3. Щоб уникнути неоднозначності, яка виникає при формалізації поняття «смакові якості» їжі, в роботі прийнято, що величина постійного значення  $U_0$  залежить тільки від фізичних властивостей харчового подразника. Нехай ця залежність має вигляд:

$$U_0 = be^{-\alpha}$$

де  $\alpha$  — коефіцієнт, який відображає механічні властивості їжі (консистенцію). Okремі значення цього коефіцієнта інтерпретуються слідуючим

чином:  $\alpha_1$  — їжа, яка за консистенцією відповідає шматкам хліба,  $\alpha_2$  — їжа, яка відповідає розмоченому хлібу,  $\alpha_3$  — їжа, яка за консистенцією близька до манної каші,  $\alpha_4$  — рідина.

#### 4. Геометрична модель шлунка є сферою.

Для кількості оцінки прегастрального і інтрагастрального рецептивних полів введені такі величини:  $\tau_{\text{пр}}$  — час заповнення прегастрального рецептивного поля,  $\tau_{\text{інтр}}$  — час заповнення інтрагастрального рецептивного поля.

Ці обидві величини залежать: 1) від ефективної площини рецептивних полів, чим більше  $S_{\text{ef}}$ , тим більше  $\tau$ ; 2) від швидкості заповнення рецептивних полів, яка в свою чергу залежить від консистенції іжі (швидкість заповнення рідкою іжею більше швидкості заповнення твердою іжею); 3) від кількості прийнятої іжі.

$Q_{\min}$  — мінімальна порція їжі, яка за час  $\tau_{\max}$  заповнює все рецептивне поле. Якщо кількість прийнятої їжі  $Q_i$  більша  $Q_{\min}$ , то вона уже ніяк не впливає на  $\tau_{\max}$ , тому що все поле вже заповнене їжею. Якщо прийняти, що прегастральне рецептивне поле, займає всю ротову порожнину і стравохід, а інтрагастральне — всю внутрішню поверхню шлунка, то, очевидно,  $\tau_{\max}$  дорівнює часу проходження їжі по ротовій порожнині і стравоходу.  $\tau_{\max}$  дорівнює часу заповнення їжею всього шлунка.

Інтенсивність первового вхідного сигналу з рецептивних полів залежима від заповнення їх подразником і від фізичних властивостей подразника (коефіцієнт  $\alpha$ ). Зробивши припущення про лінійну залежність  $U_{bx}$  від часу заповнення рецептивного поля,  $U_{bx}$  одержимо

$$U_{\text{px}} \sim kt, \quad 0 < t < \tau \leq \tau_{\max},$$

де  $\tau$  — час заповнення рецептивного поля,  $k$  — коефіцієнт пропорційності. Після  $t = \tau$ , при  $Q < Q_{\min}$  встановлюється деяке постійне значення  $U_0$ , яке дорівнює

$$U_{\text{bx}} = k\tau = \text{const.}$$

При  $Q \geq Q_{\min}$  після заповнення всього рецептивного поля за час  $t_{\max}$  величина  $U$  стає рівною

$$U = U_0 = k\tau_{\max} \equiv \text{const.}$$

Залежно від кількості прийнятої їжі можливі п'ять різних випадків, для кожного з яких величина і форма загального вхідного сигналу різні. Всі вони зображені на рис. 1. Для кожного випадку прийнято, що консистенція їжі і швидкість приймання її однакові. Четвертий і п'ятий випадки в роботі розглядались не будуть, тому що внаслідок великої кількості їжі, яка введена в шлунок, не можна занехтувати деформацією шлунка (не виконується положення 4).

Розглянемо більш детально третій випадок:  
Загальний вхідний сигнал дорівнює:

$$U_{\text{ext}} = U_{\text{ext}} + U_{\text{ext, LTP}}$$

Враховуючи, що  $U_{\text{вх}}$  пр гальмує моторику шлунка, надамо йому від'ємний знак, а  $U_{\text{вх инт}}$  — додатній. Ділянку Оа потрібно інтерпретувати як заповнення прегастрального рецептивного поля іжею. По мірі заповнення росте гальмівний від'ємний сигнал. В момент часу  $t_{\text{пр max}}$  прегастральне поле повністю заповнене іжею, і встановлюється постійне значення  $U_0$ . Пр. В цей же момент часу іжа потрапляє в шлунок і заповнює деяку ділянку інтраструктурального поля. Виникає додатний сигнал, який росте на протязі всього часу приймання іжі —  $t_e$ . На рис. 1 це відповідає

## Математична модель рецептив

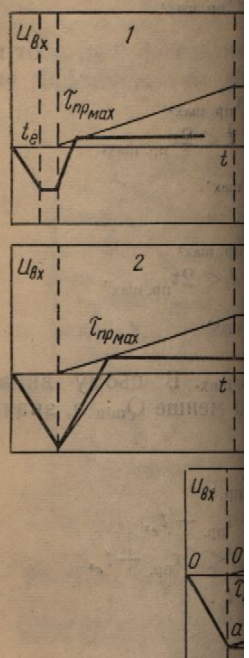


FIG. 1

у «харчовий центр». Інструкція  
ступеня заповнення і си-  
го поля, тобто від кілько-

Величини  $U_{\text{вх. pp.}}$  і  $U$

$$U_{bx,np} = \begin{cases} -kt, \\ -k\tau_{np}, \\ +kt, \\ 0, \end{cases}$$

$$U_{bx, \text{hyp.}} = \begin{cases} 0, \\ at, \\ at \end{cases}$$

$$U_{\text{bx. pes}} = \begin{cases} -k \\ at \\ (a - \\ a\tau) \end{cases}$$

ю відповідає шматкам хліба, ібу, а<sub>3</sub> — їжа, яка за консистенцією.

о інтрагастрального рецептивного і заповнення прегастрального

ефективної площині рецептивних полів від швидкості заповнення речевини від консистенції їжі (швидкості заповнення твердою

а час  $\tau_{\max}$  заповнює все рецептори  $Q_1$  більша  $Q_{\max}$ , то вона уже не вже заповнене їжею. Якщо ж воне, займає всю ротову порожнину внутрішню поверхню шлунка. проходження їжі по ротовій порожнині залежить від фізичних властивостей подушечки про лінійну залежність  $U_{\text{bx}}$  одержимо

$$\leq t \leq \tau_{\max},$$

$k$  — коефіцієнт пропорційності. деяке постійне значення  $U_0$ , яке

репрезентує постійне значення рецептивного поля за час  $\tau_{\max}$

кливи п'ять різних випадків, для

кожного прийнято, що консистенція їжі.

Четвертий і п'ятий випадки

що внаслідок великої кількості

неконтактування деформацією шлунка

випадок:

—  $U_{\text{bx. intrp.}} = U_0$  — їжа —

у «харчовий центр».

Інтенсивність встановленого сигналу залежить від

ступеня заповнення і сили подразнення інтрагастрального рецептивного поля, тобто від кількості прийнятої їжі і від її консистенції.

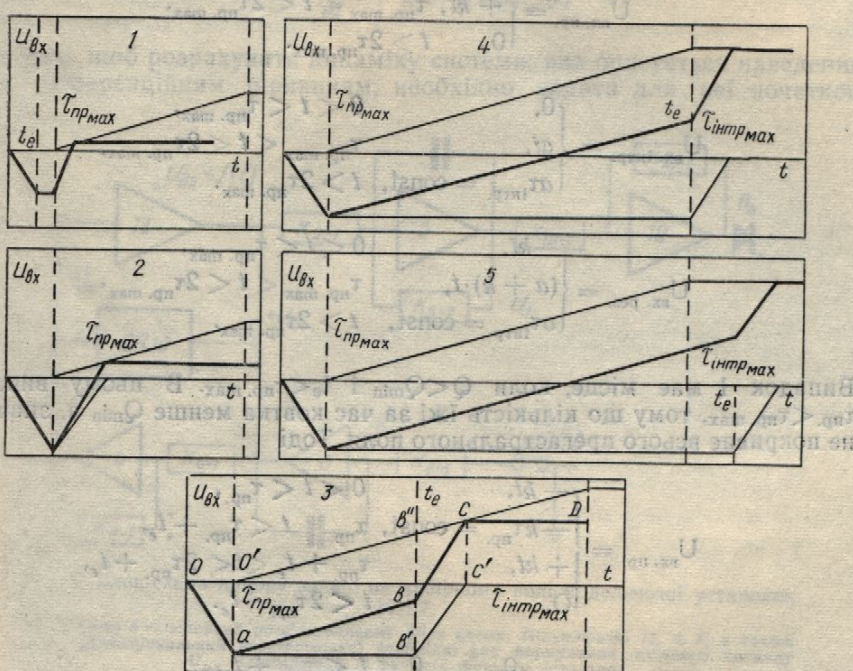


Рис. 1. Форма загального входного сигналу.

у «харчовий центр». Інтенсивність встановленого сигналу залежить від ступеня заповнення і сили подразнення інтрагастрального рецептивного поля, тобто від кількості прийнятої їжі і від її консистенції.

Величини  $U_{\text{bx. pr}}$  і  $U_{\text{bx. intrp.}}$  матимуть такий вигляд:

$$U_{\text{bx. pr}} = \begin{cases} -kt, & 0 < t < \tau_{\text{pr. max}}, \\ -k\tau_{\text{pr. max}} = U_{\text{pr. max}} = \text{const}, & \tau_{\text{pr. max}} < t < t_e, \\ +kt, & t_e < t < t_e + \tau_{\text{pr. max}}, \\ 0, & t > t_e + \tau_{\text{pr. max}}, \end{cases}$$

$$U_{\text{bx. intrp.}} = \begin{cases} 0, & 0 < t < \tau_{\text{pr. max}}, \\ at, & \tau_{\text{pr. max}} < t < t_e + \tau_{\text{pr. max}}, \\ at_{\text{intrp.}} = \text{const}, & t > t_e + \tau_{\text{pr. max}}. \end{cases}$$

$$U_{\text{bx. pes}} = \begin{cases} -kt, & 0 < t < \tau_{\text{pr. max}}, \\ at - k\tau_{\text{pr. max}}, & \tau_{\text{pr. max}} < t < t_e, \\ (a + k)t, & t_e < t < t_e + \tau_{\text{pr. max}}, \\ at_{\text{intrp.}} = U_0 = \text{const}, & t > t_e + \tau_{\text{intrp.}} \end{cases}$$

Випадок 2, коли  $Q = Q_{\min}$  і  $t_e = \tau_{\text{пр. max}}$  аналогічний щойно розглянутому. Різниця лише в часі приймання їжі. Тут час приймання їжі рівний часу заповнення прегастрального рецептивного поля.

$$U_{\text{вх. пр.}} = \begin{cases} -kt, & 0 < t < \tau_{\text{пр. max}} = t_e, \\ +kt, & \tau_{\text{пр. max}} < t < 2\tau_{\text{пр. max}}, \\ 0, & t > 2\tau_{\text{пр. max}}. \end{cases}$$

$$U_{\text{вх. інтр.}} = \begin{cases} 0, & 0 < t < \tau_{\text{пр. max}}, \\ at, & \tau_{\text{пр. max}} < t < 2\tau_{\text{пр. max}}, \\ a\tau_{\text{інтр.}} = \text{const}, & t > 2\tau_{\text{пр. max}}. \end{cases}$$

$$U_{\text{вх. рез.}} = \begin{cases} -kt, & 0 < t < \tau_{\text{пр. max}}, \\ (a+k)\cdot t, & \tau_{\text{пр. max}} < t < 2\tau_{\text{пр. max}}, \\ a\tau_{\text{інтр.}} = \text{const}, & t > 2\tau_{\text{пр. max}}. \end{cases}$$

Випадок 1 має місце, коли  $Q < Q_{\min}$  і  $t_e < \tau_{\text{пр. max}}$ . В цьому випадку  $\tau_{\text{пр.}} < \tau_{\text{пр. max}}$ , тому що кількість їжі за час ковтка менше  $Q_{\min}$  а, значить, не покриває всього прегастрального поля. Тоді

$$U_{\text{вх. пр.}} = \begin{cases} -kt, & 0 < t < \tau_{\text{пр.}}, \\ -k\tau_{\text{пр.}} = \text{const}, & \tau_{\text{пр.}} < t < \tau_{\text{пр.}} + t_e, \\ +kt, & \tau_{\text{пр.}} + t_e < t < 2\tau_{\text{пр.}} + t_e, \\ 0, & t < 2\tau_{\text{пр.}} + t_e. \end{cases}$$

$$U_{\text{вх. інтр.}} = \begin{cases} 0, & 0 < t < \tau_{\text{пр.}} + t_e, \\ at, & \tau_{\text{пр.}} + t_e < t < 2\tau_{\text{пр.}} + t_e, \\ a\tau_{\text{інтр.}}, & t > 2\tau_{\text{пр.}} + t_e. \end{cases}$$

$$U_{\text{вх. рез.}} = \begin{cases} -kt, & 0 < t < \tau_{\text{пр.}}, \\ -k\tau_{\text{пр.}} = \text{const}, & \tau_{\text{пр.}} < t < \tau_{\text{пр.}} + t_e, \\ (a+k)\cdot t, & \tau_{\text{пр.}} + t_e > t < 2\tau_{\text{пр.}} + t_e, \\ a\tau_{\text{інтр.}}, & t > 2\tau_{\text{пр.}} + t_e. \end{cases}$$

де  $\tau_{\text{пр.}} + t_e$  — час руху їжі по стравоходу.

Грунтуючись на припущеннях, що тиск в усіх ділянках порожнини шлунка змінюється однаково, розглянемо зміну тиску в окремій локальній ділянці. Нехай в момент часу  $t_1$ , тиск у середині шлунка в даній точці рівний  $P_1$ . Під дією еферентного нервового сигналу, що надходить від «харчового центра», тиск у момент часу  $t_1 + \Delta t$  стане рівним  $P_1 + \Delta P$ , тобто за час  $\Delta t$  тиск зміниться на величину  $\Delta P$ .

Величина цієї зміни визначається зміною інтенсивності нервового еферентного сигналу. Оскільки в системі існує від'ємний зворотний зв'язок, то є необхідно прийняти, що зміна тиску проходить з швидкістю, яка пропорційна поточному тиску. Тоді можна записати:

$$\Delta P + k_1 P \Delta t = k_2 U_{\text{вх.}}(t) \Delta t$$

Поділивши це рівняння на  $\Delta t$  отимо

Для того, щоб розрахувавши диференційним рі

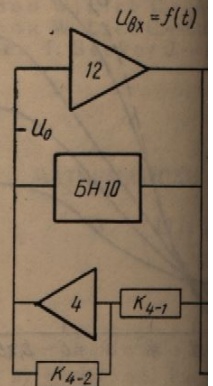


Рис. 2. Блок-схема набо

Підсилювач 5 — основний р  
БН-10 (функціональний пе  
 $U_{\text{вх.}}$  П

умови. При вивчені пер  
початку такого інтервалу

розв'язується при таких

під час спокою шлунка

$P_0 =$

На моделі проведено рівняння. Рівняння реалізовано автоматизувало заходженням дельних кривих найкращими для різних лів формувався на функції. Результати моделювання потрібного розв'язання підтвердили таку ж криву зміни тиску

аналогічний щойно розглянутому, ут час приймання іжі рівний часу ого поля.

$$t < \tau_{\text{np. max}} = t_c, \\ \text{max} < t < 2\tau_{\text{np. max}}, \\ 2\tau_{\text{np. max}}.$$

$$0 < t < \tau_{\text{np. max}},$$

$$\tau_{\text{np. max}} < t < 2\tau_{\text{np. max}},$$

$$t > 2\tau_{\text{np. max}}.$$

$$0 < t < \tau_{\text{np. max}},$$

$$\tau_{\text{np. max}} < t < 2\tau_{\text{np. max}},$$

$$t > 2\tau_{\text{np. max}}.$$

і  $t_e < \tau_{\text{пр. max}}$ . В цьому випадку час ковтка менше  $Q_{\min}$  а, значить, ля. Тоді

$$0 < t < \tau_{np},$$

$$\tau_{np} < t < \tau_{np} + t_e,$$

$$\tau_{np} + t_e < t < 2\tau_{np} + t_e$$

$$t < 2\tau_{np} + t_e.$$

$$t < \tau_{np} + t_e,$$

$$+ t_e < t < 2\tau_{np} + t_e,$$

$$2\tau_{np} + t_e.$$

$$\begin{aligned}0 < t < \tau_{np}, \\ \tau_{np} < t < \tau_{np} + t_e, \\ t > 2\tau_{np} + t_e.\end{aligned}$$

оду.

ж в усіх ділянках порожнини шлун-  
міну тиску в окремій локальній ді-  
зередині шлунка в даній точці рів-  
но сигналу, що надходить від «хар-  
+Δt стане рівним  $P_1 + \Delta P$ , тобто

я зміною інтенсивності нервового  
так існує від'ємний зворотний зв'язок  
на тиску проходить з швидкістю,  
можна записати:

$$k_2 \cup_{\text{ex.}} (t) \Delta t$$

### *Математична модель рецептивної релаксації*

Поділивши це рівняння на  $\Delta t$  і спрямувавши його до нуля, одержимо:

$$\lim_{\Delta t \rightarrow 0} \frac{\Delta P}{\Delta t} + k_1 P = k_2 U_{\text{вх.}}(t),$$

$$\frac{dP}{dt} + k_1 P = k_2 U_{\text{вх.}}(t)$$

Для того, щоб розрахувати динаміку системи, яка описується наведеним вище диференційним рівнянням, необхідно задати для неї початкові

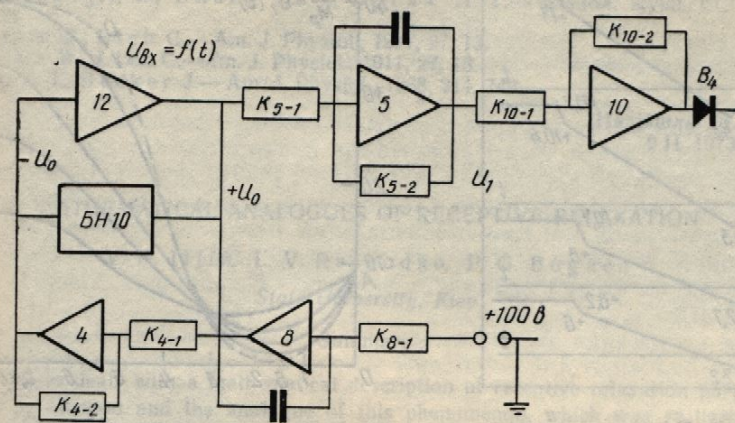


Рис. 2. Блок-схема набору задачі на набірному полі моделюючої установки МН-7.

Підсилювач 5 — основний розв'язувальний блок схеми. Підсилювачі 12, 4, 8; а також БН-10 (функціональний перетворювач) необхідні для формування вхідного сигналу  $U_{вх}$ . Підсилювач 10 виконує функцію інвертора.

умови. При вивченні переходів процесів, як правило, приймають, що на початку такого інтервалу  $t=0$ . Тоді рівняння

$$\frac{dP}{dt} + k_1 P = k_2 U_{\text{bx.}}(t)$$

розв'язується при таких початкових умовах. Під час роботи підприємства

$$P = P_0 - P$$

під час спокою шлунка

$$P_0 \equiv P_{\infty}, \quad P \equiv \Omega, \quad U_0 \equiv \Omega, \quad t = \Omega$$

На моделі проведено дослідження розв'язання одержаного вище рівняння. Рівняння реалізоване на електронній моделюючій установці МН-7 (рис. 2). Застосування аналогової обчислювальної машини МН-7 автоматизувало знаходження коефіцієнтів рівняння, при яких серія модельних кривих найкраще співпадала б з експериментальними кривими, одержаними для різних подразників. Вхідний сигнал з рецепторних полів формувався на функціональному перетворювачі БН-10 (рис. 3). Результати моделювання наведені на рис. 4. Метод знаходження потрібного розв'язання полягає у підборі вхідного сигналу, який давав би таку ж криву зміни тиску в моделі, як у реальному шлунку.

Коефіцієнт передачі  $k_1$  і  $k_2$  виявляли за допомогою потенціометрів К<sub>5-2</sub> і К<sub>5-1</sub>. Масштаб часу встановлювався за допомогою часу розгортки осцилографа і горизонтального підсилення. Масштаби Р і  $U_{\text{вх}}$  — з допомогою вертикального підсилення. При сумісному підборі всіх цих величин були одержані модельні криві зміни тиску в шлунку.

В роботі було розглянуто моделювання таких ситуацій: годування їжею, за консистенцією близькою до хліба в шматках, годування їжею,

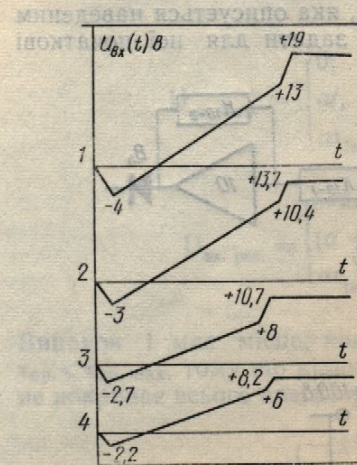


Рис. 3. Характер зміни  $U_{\text{вх}}$ .

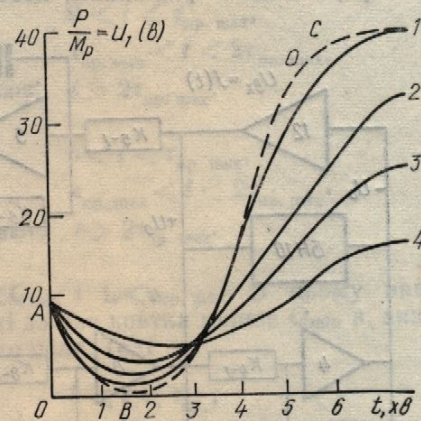


Рис. 4. Результати дослідження аналогової моделі.

O — експериментальна крива 1, 2, 3, 4 — теоретичні криві, одержані для вхідних сигналів, показаних на рис. 3. А — точка, відповідає змінам тиску в шлунку при годуванні їжею, за консистенцією близькою до гречаної каші, годування їжею, за консистенцією близькою до манної каші та для випадку дуже сильного механічного подразнення рецепторних полів. Для всіх цих випадків тривалість годування

$$t_e > \tau_{\text{пр. max}}, \quad t_e = \tau_{\text{пр. max}}, \quad \tau_{\text{пр.}} < \tau_{\text{пр. max}}.$$

На рис. 4 представлена експериментальна (O) і розраховані на моделі криві зміни тиску в середині шлунка під час приймання їжі. Вихідні експериментальні дані: час годування 5—6 хв, тиск у шлунку собаки до початку годування 2—3 см вод. ст., після закінчення годування — 13—14 см вод. ст. Він приймається приблизно 10—15 хв, а потім знижується до 8 см вод. ст. (на графіку ця фаза падіння тиску не показана). Ділянка АВ — зменшення тиску в результаті подразнення їжею прегастрального рецептивного поля (1,5—2 хв). Ділянка ВС — збільшення тиску в результаті подразнення їжею інтраструктурального рецептивного поля. Годування проводилося їжею, за консистенцією близькою до хліба в шматках.

На закінчення слід відзначити, що повних експериментальних фізіологічних даних для зіставлення їх з проведеними вище теоретичними розрахунками на моделі поки ще нема. Тому є певна необхідність у проведенні таких фізіологічних досліджень. Ці дослідження дозволили б підтвердити або спростувати покладені в основу моделі такі аксіоматичні твердження.

1. Характер сигналу ходить з рецепторних по- саному вище лінійному з

2. Між вхідним нер- го поля має місце лінійн-

1. Богач П. Г., Грайсма
2. Ільїн В. Н., Рещодько
3. Рещодько Л. В., Ільїн
4. Cannon W., Lieb C.—A
5. Cannon W., Lieb C.—A
6. Nelsen T., Becker J.—

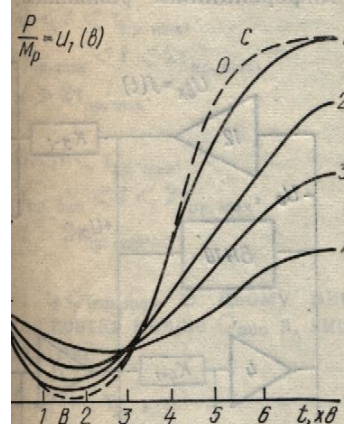
#### MATHEMATICAL

V. N. Il'jin

The paper deals with a model of the alimentary canal of the dog described by Kennon and the results of its investigation. The model installation MN-7. The results of the experiments on the model during the food

али за допомогою потенціометрів вся за допомогою часу розгортки ния. Масштаби  $P$  і  $U_{\text{вх}}$  — з допо-сумісному підборі всіх цих вели-  
ї тиску в шлунку.

вання таких ситуацій: годування ліба в шматках, годування їжею,



4. Результати дослідження аналого-вої моделі.

експериментальна крива 1, 2, 3, 4 — теоретичні криви, одержані для вхідних сигналів, зображені на рис. 3.

каші, годування їжею, за конси-  
для випадку дуже сильного меха-  
Для всіх цих випадків тривалість

$$\max, \tau_{\text{пр.}} < \tau_{\text{пр. max.}}$$

нальну (О) і розраховані на мо-  
ка під час приймання їжі. Вихід-  
я 5–6 хв, тиск у шлунку собаки  
, після закінчення годування —  
близко 10–15 хв, а потім знижу-  
раза падіння тиску не показана).  
ультаті подразнення їжею прега-  
хв). Ділянка BC — збільшення  
інтрагастрального рецептивного  
консистенцією близькою до хлі-

повних експериментальних фізіо-  
проведеними вище теоретичними.  
Тому є певна необхідність у про-  
нь. Ці дослідження дозволили б  
в основу моделі такі аксіоматич-

1. Характер сигналу еферентного нервового сигналу  $U_{\text{вх}}$ , який над-  
ходить з рецепторних полів у «харчовий центр» дійсно змінюється по опи-  
саному вище лінійному закону.

2. Між вхідним нервовим сигналом і часом заповнення рецепторно-  
го поля має місце лінійна залежність.

### Література

1. Богач П. Г., Гроісман С. Д. — Вопросы питания, 1959, 12, 56.
2. Ильин В. Н., Решодько Л. В. — В сб.: Тез. докл. XXI Укр. научно-технич. конф., К., 1972, 7.
3. Решодько Л. В., Ильин В. Н., Богач П. Г. — Физiol. журн. СССР, 1973, LIX, 5.
4. Cappop W., Lieb C. — Am. J. Physiol., 1917, 27, 13.
5. Cappop W., Lieb C. — Am. J. Physiol., 1911, 27, 13.
6. Nelsen T., Becker J. — Am. J. Physiol., 1968, 214, 749.

Надійшла до редакції  
9.II 1973 р.

### MATHEMATICAL ANALOGUES OF RECEPTIVE RELAXATION

V. N. Iljin, L. V. Reshodko, P. G. Bogach

*State University, Kiev*

### Summary

The paper deals with a mathematical description of receptive relaxation phenomenon described by Kennon and the analogue of this phenomenon, which was realized on the model installation MN-7. The curves of pressure change in the stomach cavity obtained on the model during the food intake coincide with the similar experimental curves.